Description Géologique de l'Ile d'Ambon. Par Verbeek.

Volume of Charts.

B.B. a. 146

00038859

O
551
Amb/Geo
38859

551
Amb/Geo
38859

Geo
0
551
Amb/Geo
38859

00038859

Digitized with financial assistance from
Observer Research Foundation
on 11 March, 2020

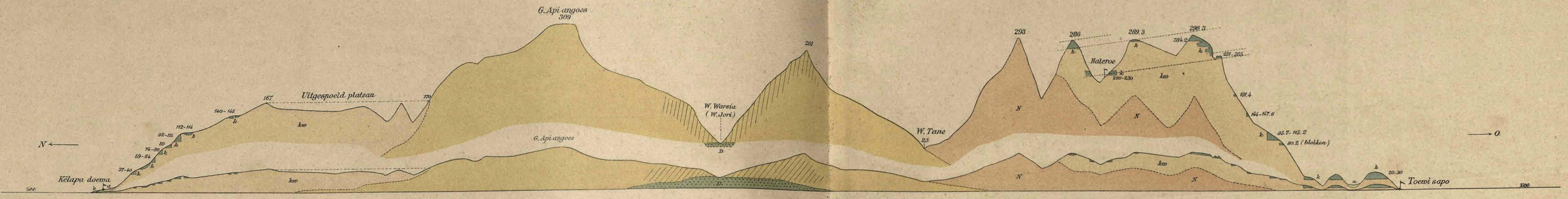

Fig. 1. Geologisch profiel, volgens eene gebroken lijn, van Kelapa doewa (bij Halong) over den G. Api angoes, de Wai Warsia en Haleroe naar Toewi sapo.
Benedenste profiel. Horizontale schaal 1 : 20,000. Vertikale schaal 1 : 20,000.
Bovenste profiel. „ „ 1 : 20,000. „ „ 1 : 5000.

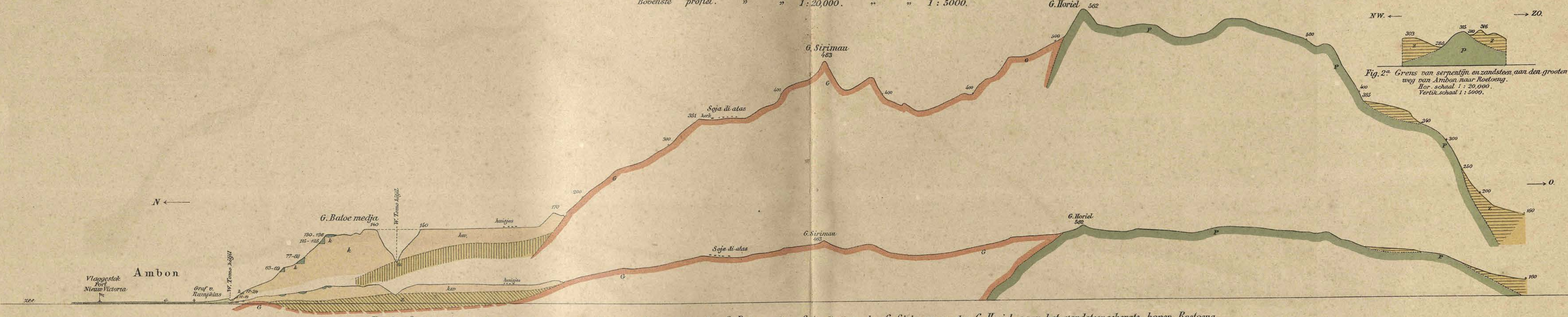

Fig. 2a. Grens van serpentijn en zandsteen aan den grooten weg van Ambon naar Roetoeng.
Hor. schaal 1 : 20,000.
Vertik. schaal 1 : 5000.

Fig. 2. Geologisch profiel, volgens eene gebroken lijn, van Ambon over den G. Batoe medja, Soja di atas, den G. Sirimau en den G. Horiel naar het zandsteengebergte boven Roetoeng.
Benedenste profiel. Horizontale schaal 1 : 20,000. Vertikale schaal 1 : 20,000.
Bovenste profiel. „ „ 1 : 20,000. „ „ 1 : 5000.

Fig. 3. Geologisch profiel, volgens eene gebroken lijn, van Wai Nitoe (bij Ambon) over den G. Nona naar Tandjoeng Hati ari.
Benedenste profiel. Horizontale schaal 1 : 20,000. Vertikale schaal 1 : 20,000.
Bovenste profiel. „ „ 1 : 20,000. „ „ 1 : 5000.

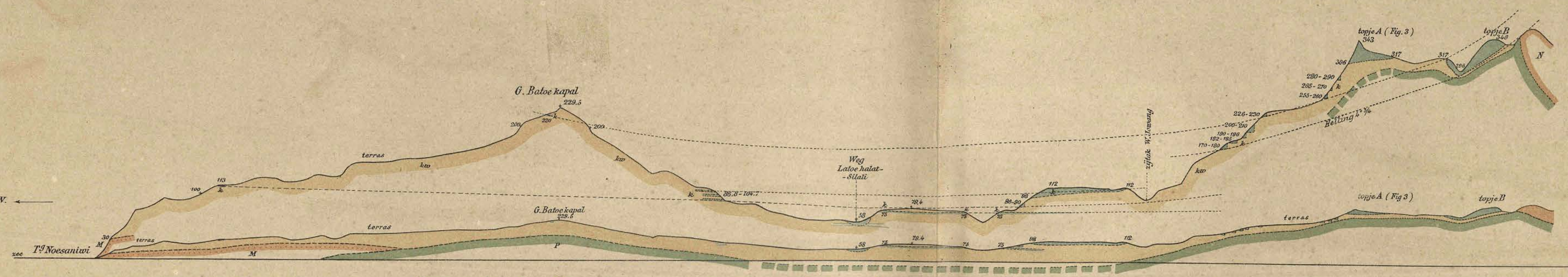

Fig. 4. Geologisch profiel, volgens eene gebroken lijn, van Tandjoeng Noesaniwi over den G. Batoe kapal en het topje A (Fig. 3) naar het kalktopje B.
Benedenste profiel. Horizontale schaal 1 : 20,000. Vertikale schaal 1 : 20,000.
Bovenste profiel. „ „ 1 : 20,000. „ „ 1 : 5000.

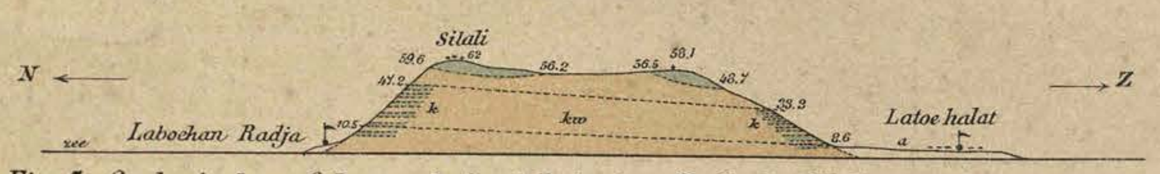

Fig. 5. Geologisch profiel, van de baai Laboehan Radja bij Silali naar Latoe halat, ongeveer van Noord naar Zuid.
Horizontale schaal 1 : 20,000. Vertikale schaal 1 : 5000.

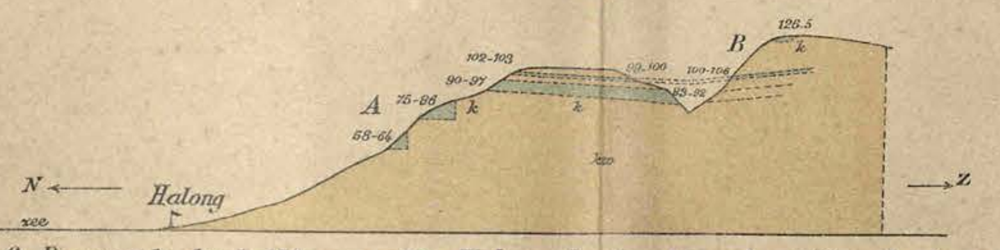

Fig. 6. Doorsnede der kalklagen achter Halong, loodrecht op de richting der lagen.
Horizontale schaal 1 : 20,000. Vertikale schaal 1 : 5000.

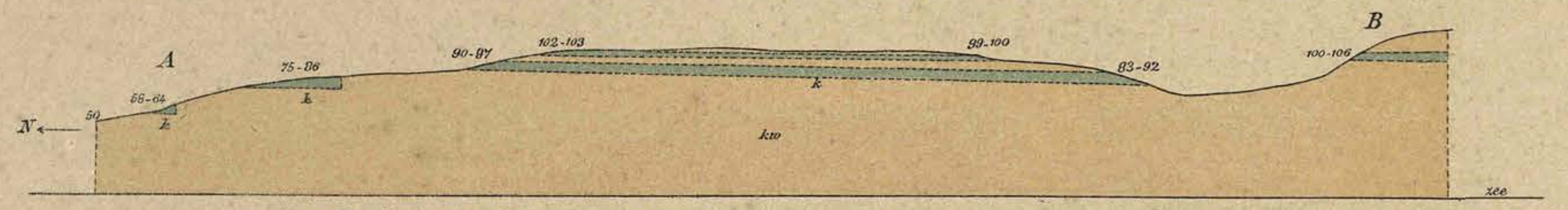

Fig. 7. Gedeelte A B van Fig. 6. Horizontale en Vertikale schaal 1 : 5000.
Helling der bovenste kalklaag 0° 32′ naar Zuidoost.
Helling der 2[e] kalklaag, bovenste gedeelte 0° 40′ naar Zuidoost.
„ „ „ onderste „ 0° 47′ „ „

LEGENDA

voor de Figuren 1–8.

- P — *Peridotiet en Serpentijn.*
- D — *Diabaas.*
- G — *Granietgesteenten.*
- z — *Zandsteenen en schiefers. (Jong paleozoisch?).*
- M — *Melafier.*
- N — *Andesieten, liparieten, glasgesteenten en breccien.* } *(Krijtformatie?).*
- kw — *Los materiaal (Plioceen en kwartair).*
- k_1 — *Zachte mergelkalk (Plioceen?).*
- k — *Koraalkalk (Plioceen en kwartair).*
- a — *Alluvium.*
- *Richting en helling der lagen.*
- *Hoogtecijfers in meters.*

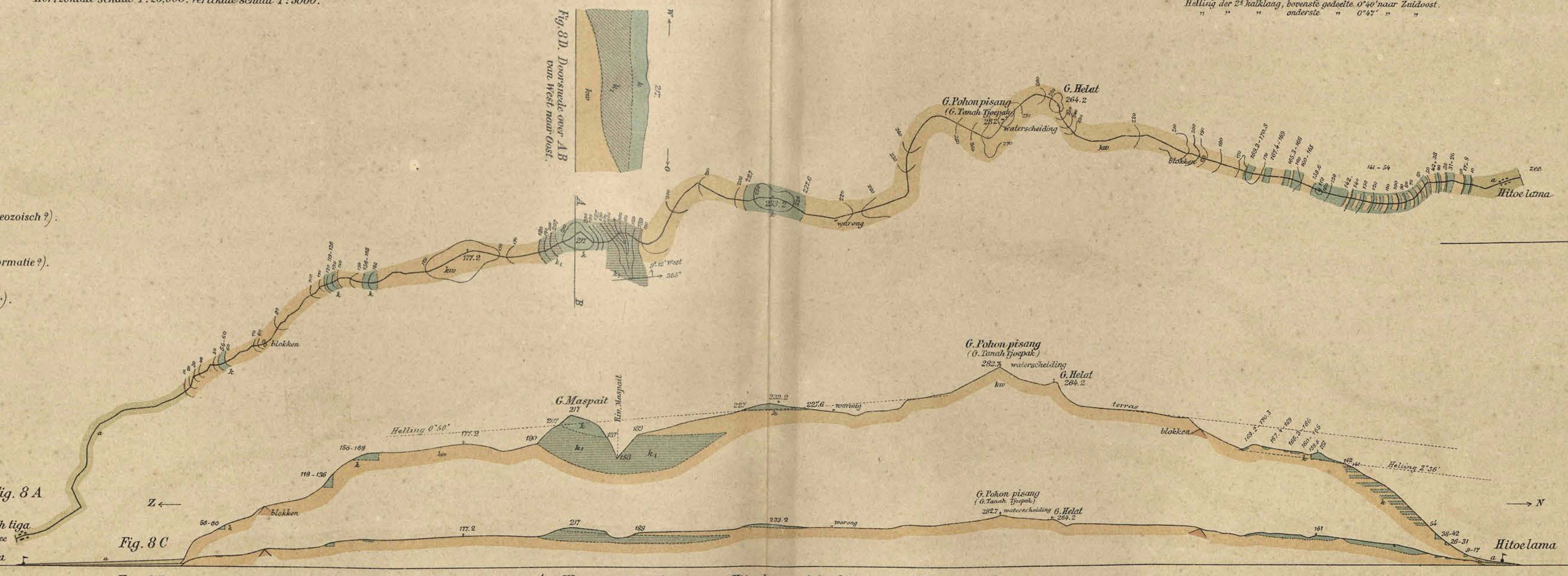

Fig. 8 { A *Weg van Roemah tiga naar Hitoe lama. Schaal 1 : 20,000. Nieuwe opmeting.*
B *Profiel van dien weg. Horizontale schaal 1 : 20,000. Vertikale schaal 1 : 20,000.*
C *„ „ „ 1 : 20,000. „ „ 1 : 5000.*
D *Doorsnede over A B van Fig. 8 A, van West naar Oost.*

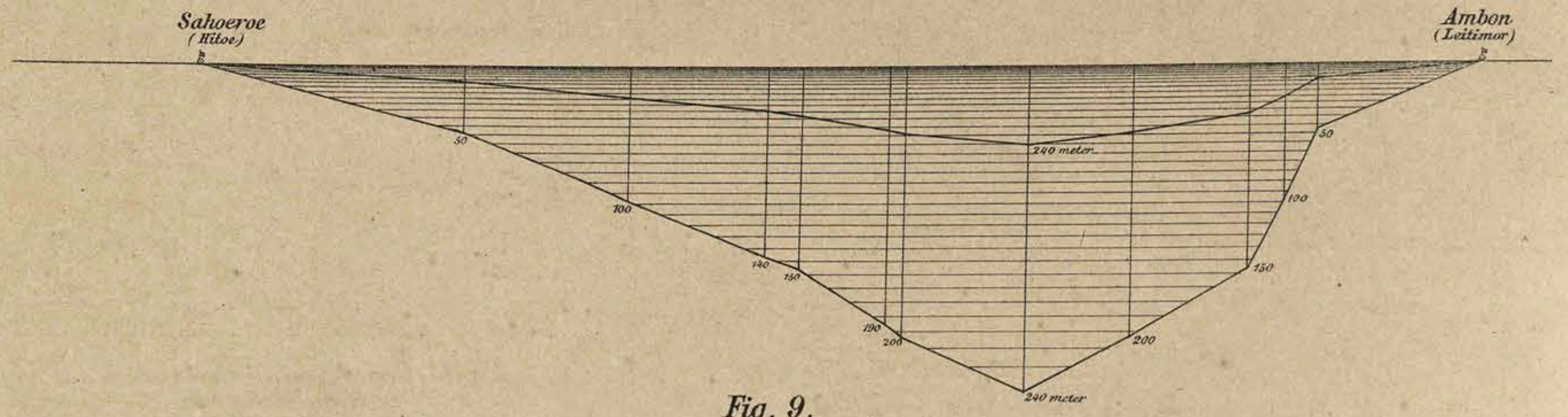

Fig. 9.

Profiel van de Ambon-baai, tusschen Sahoeroe (op Hitoe) en Ambon (op Leitimor)
Bovenste profiel : Horizontale en vertikale schaal 1:20,000.
Benedenste „ : Horizontale schaal 1:20,000. Vertikale schaal 1:5000.

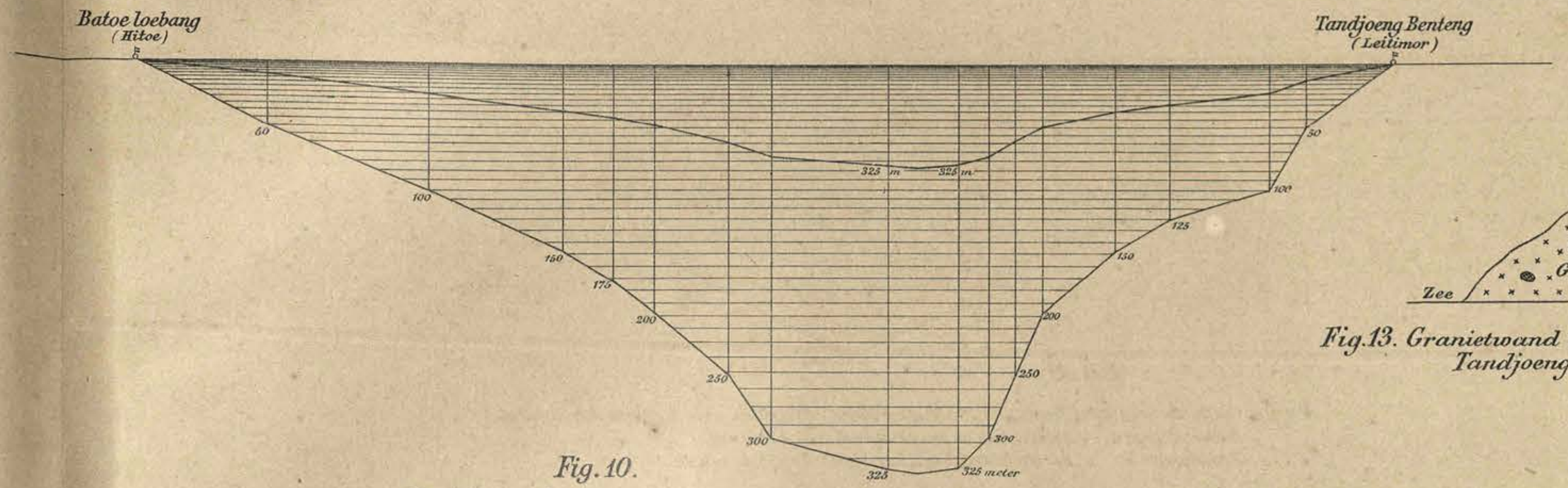

Fig. 10.

Profiel van de Ambon-baai, tusschen Batoe loebang (op Hitoe) en Tg Benteng (op Leitimor)
Bovenste profiel : Horizontale en vertikale schaal 1:20,000.
Benedenste „ : Horizontale schaal 1:20,000. Vertikale schaal 1:5000.

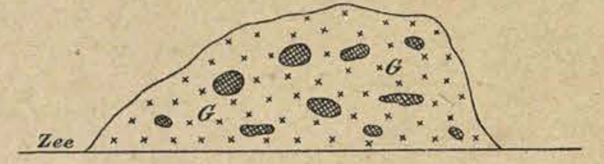

Fig. 13. Granietwand met resten van contactgesteente.
Tandjoeng Seri (Leitimor) Schets.

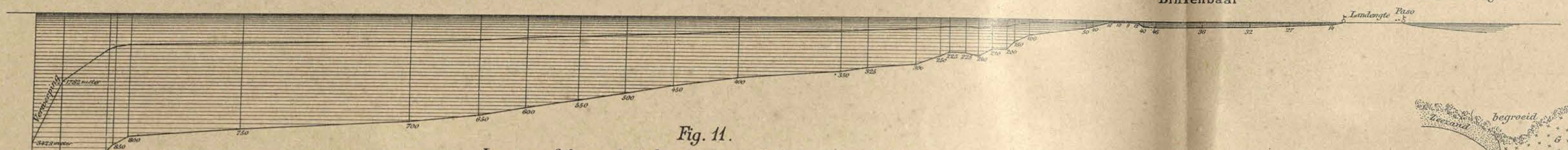

Fig. 11.

Lengte-profiel van de Ambon-baai over de lijn van grootste diepte.
Van de verwerping bij kaap Noesaniwi door de baai van Ambon en de Binnenbaai naar Paso.
Bovenste profiel : Horizontale en vertikale schaal 1:100,000.
Benedenste „ : Horizontale schaal 1:100,000. Vertikale schaal 1:25,000.

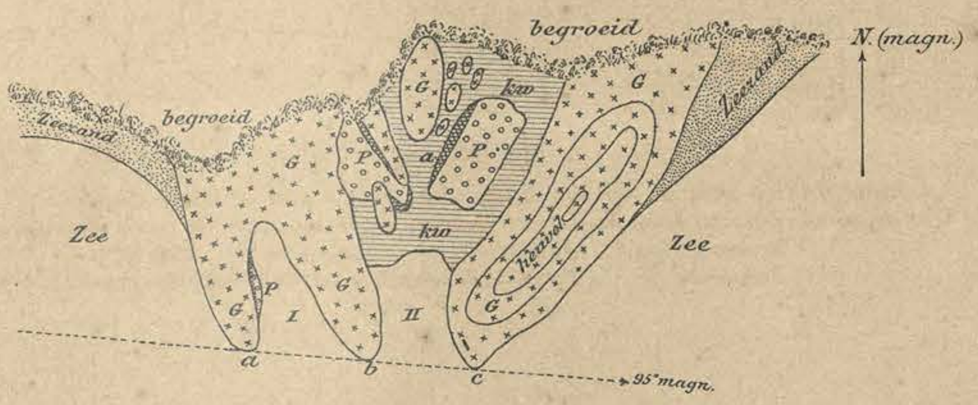

Fig 12. Tandjoeng Seri, aan de Zuidkust van Leitimor. (Schets)
Schaal ± 1:2000.

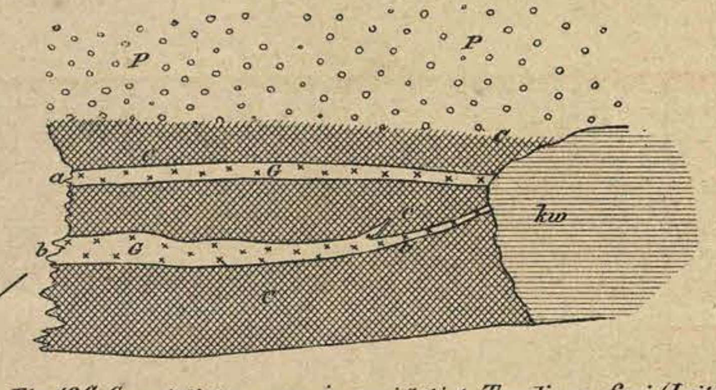

Fig. 13a Granietietgangen in peridotiet, Tandjoeng Seri (Leitimor).
Horizontale projectie. (Schets.)
a = 3 centimeter, b = 5 à 6 centimeter dik, c = uitlooper, 5 millimeter dik

Legenda voor Fig 12, 13 en 13a

P. Peridotiet (No. 58).
G. Granietiet (No. 57).
C. Contactgesteente (No. 59).
kw. Hard kwartair conglomeraat, ± 5 Meter boven zee.

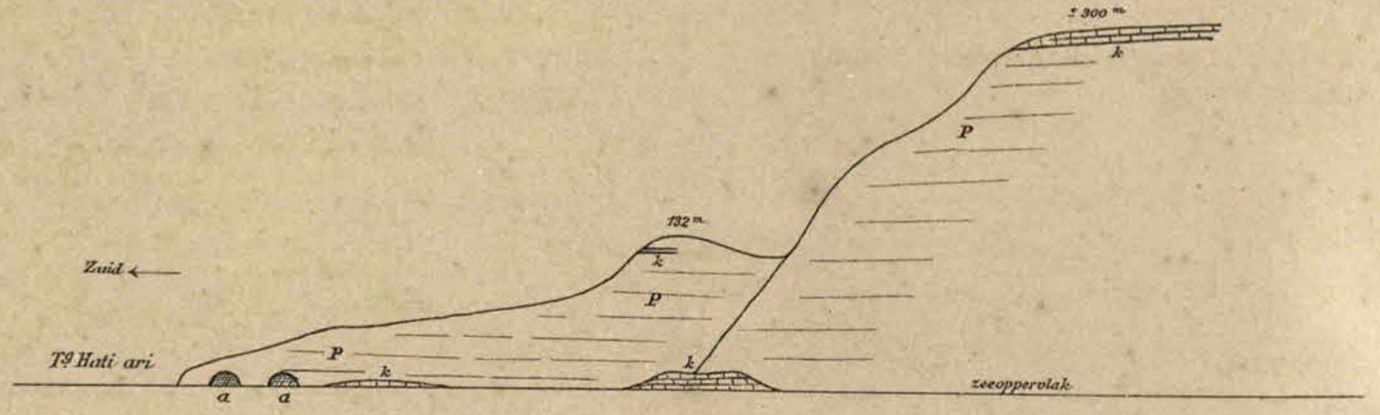

Fig. 14. Gezicht op Tandjoeng Hati ari (Leitimor) van N.O.
P. Peridotiet. k Koraalkalk. a a. Gaten, door de zee in den peridotiet uitgespoeld.

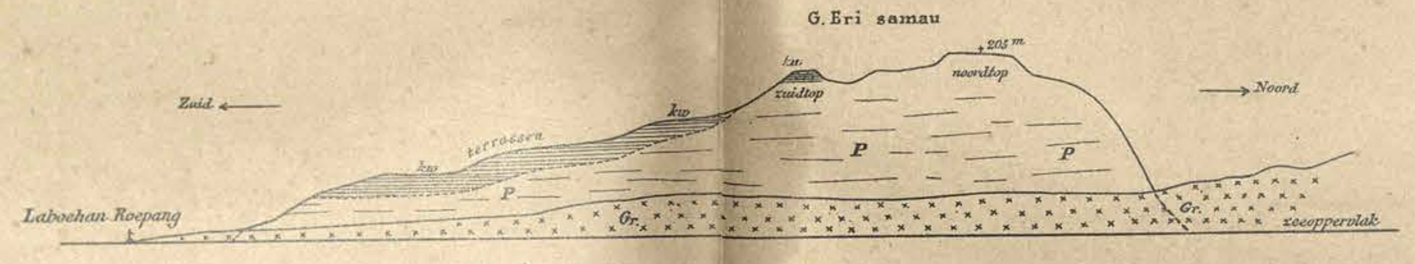

Fig. 15. De Goenoeng Eri samau met de zuidelijk daaraan sluitende terrassen tot aan de Laboehan Roepang (Leitimor), gezien van O. (Schets.)
Gr. Graniet. P Peridotiet. kw. Los materiaal der terrassen.

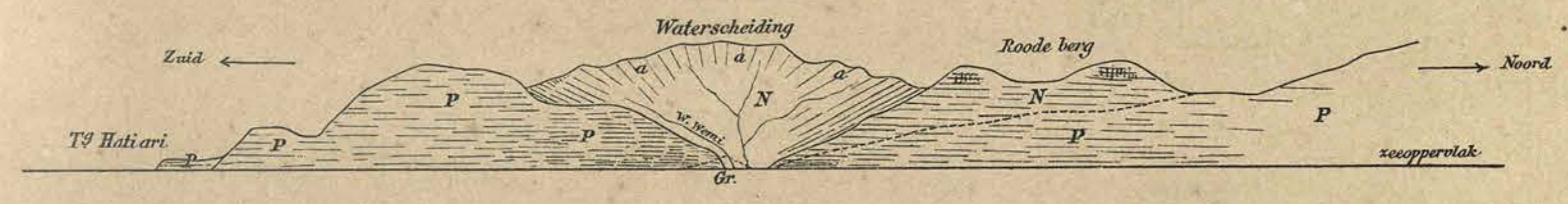

Fig. 16. Het gebergte bewesten Seri, gezien van Oost, bij Tandjoeng Noekinaroe (Leitimor).
Gr. Graniet. P. Peridotiet. N. Kwartsglimmerandesiet.

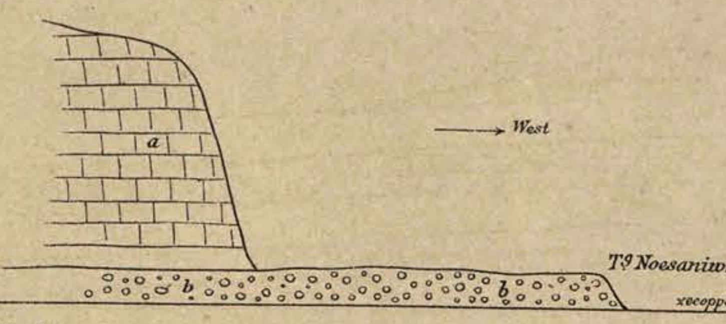

Fig. 17. Melafier bij Tandjoeng Noesaniwi (Leitimor).
a. compact, zonder glas. b. met glaskorsten.

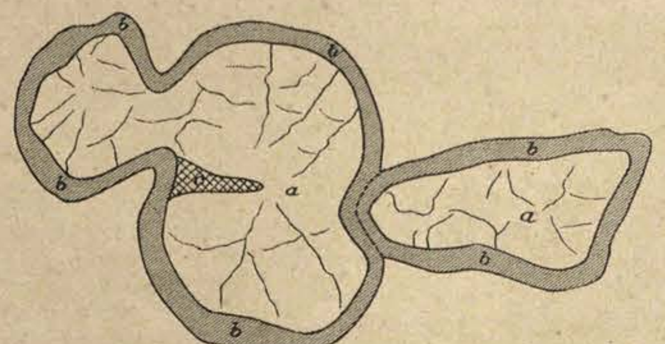

Fig. 18. Melafier bij Tg Noesaniwi.
a. Melafier. b. Glaskorsten c. Glas met geel omzettingsprodukt.

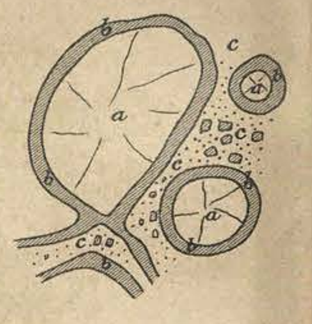

Fig. 19.

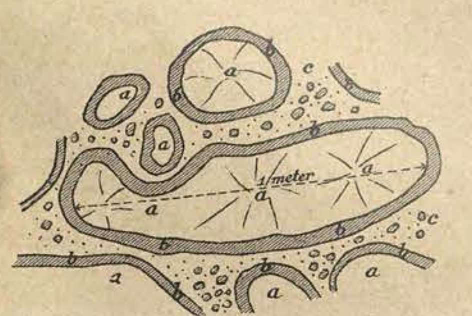

Fig. 20.

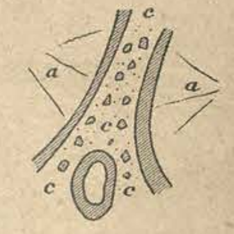

Fig. 21.

Fig. 19 – 21. Melafier met kogelvormige afzondering en glaskorsten, ten NO. van Tg Noesaniwi.
a. Melafier. b. Glaskorsten. c. Glas, gedeeltelijk geel omgezet.

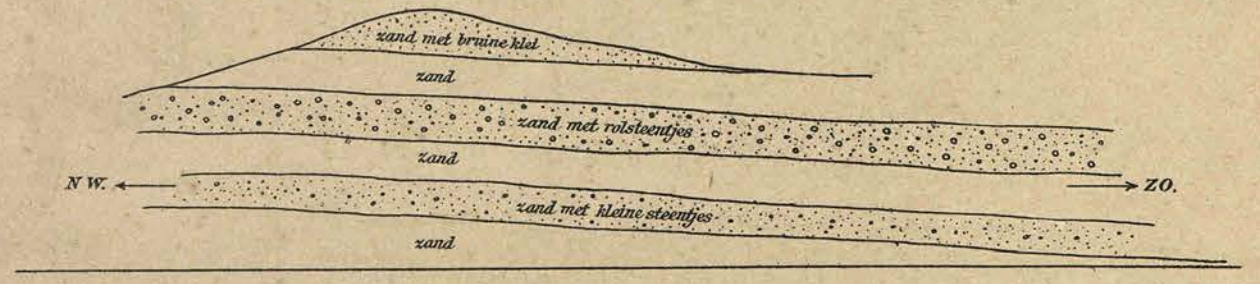

Fig. 22. Kwartaire zand- en rolsteenlagen, ten O. van den G. Karang pandjang, op weg van Ambon naar Roetoeng (Leitimor).
Helling 3° à 5° naar Zuidoost.

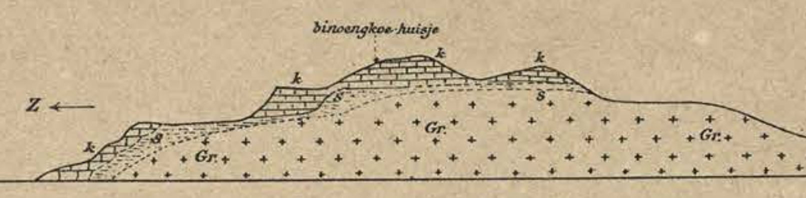

Fig. 23. Ligging der koraalkalken in 3 étage's op graniet, ten W. van de Laboehan Roepang (Leitimor).
Gr. Graniet. S. Serpentijngruis. k. koraalkalk.

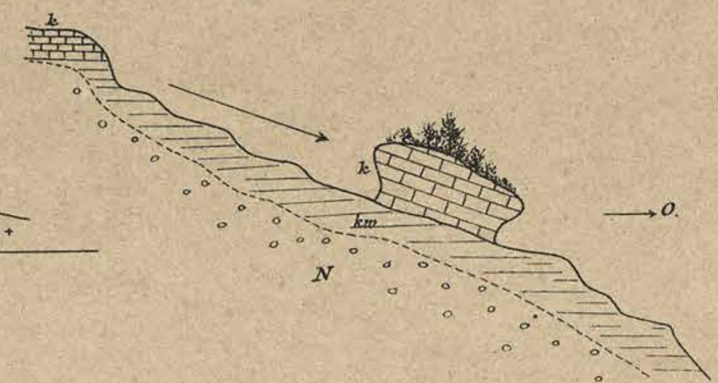

Fig. 24. Afgeschoven kalkblok boven Toewi sapo (Leitimor).
N. Andesieten, kw. Los gruis van N. k. Koraalkalkblok, van boven gekomen.

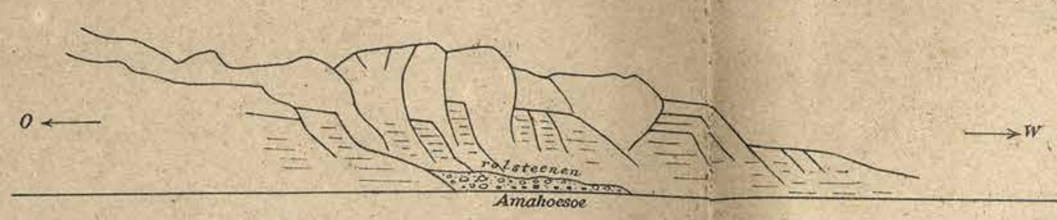

Fig. 25. Terrassen tegen het gebergte achter Amahoesoe (Leitimor).
Schets genomen uit de Ambon-baai, ongeveer van Noord.
De terrassen hebben eene flauwe helling naar N.W.

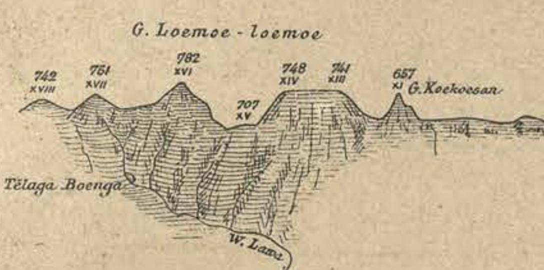

Fig. 28. Het Loemoe-loemoe-gebergte (Hitoe), gezien van het terras achter Laha, 67 meter boven zee.

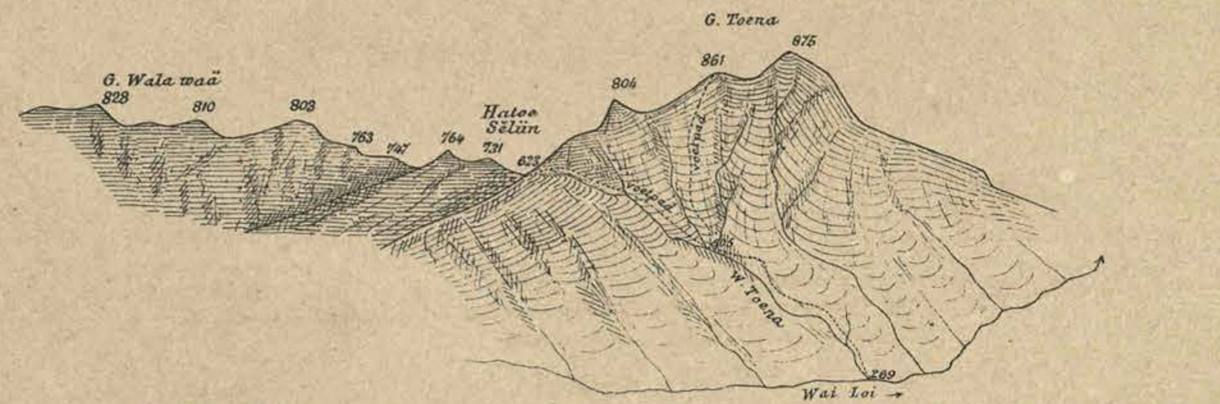

Fig. 29. De Walawaä en de Toena (Hitoe), gezien van den top XVII (751 meter boven zee) van het Loemoe-loemoe-gebergte.

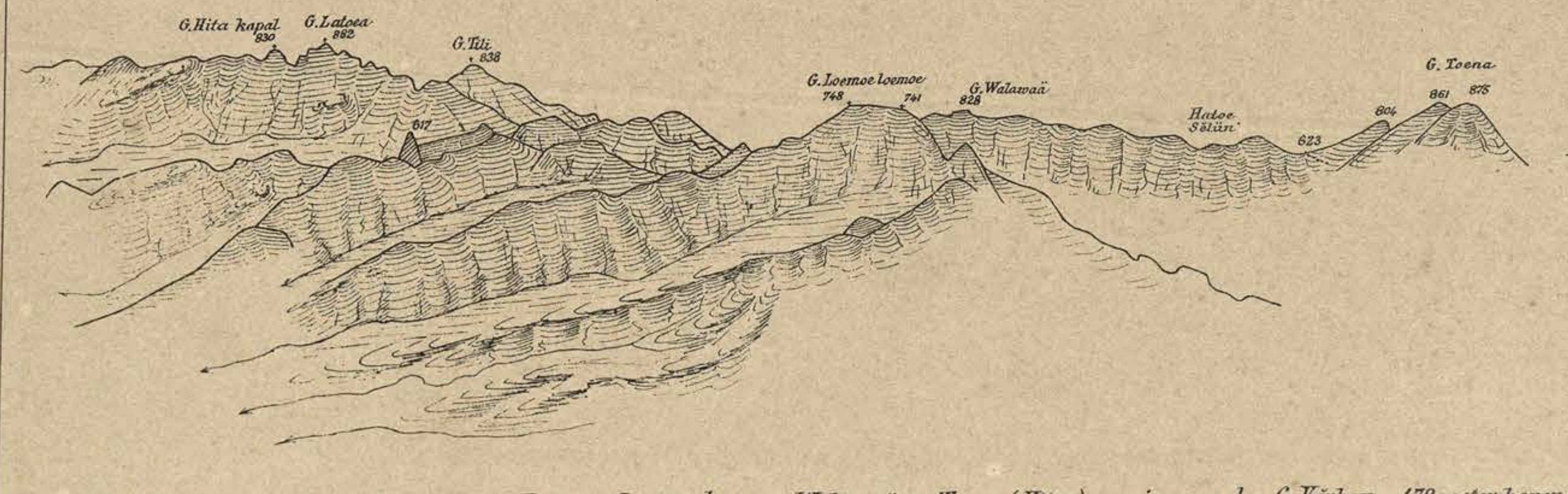

Fig. 26. Panorama van de gebergten Latoea, Loemoe loemoe, Walawaä en Toena (Hitoe), gezien van den G. Kërbau, 478 meter boven zee.

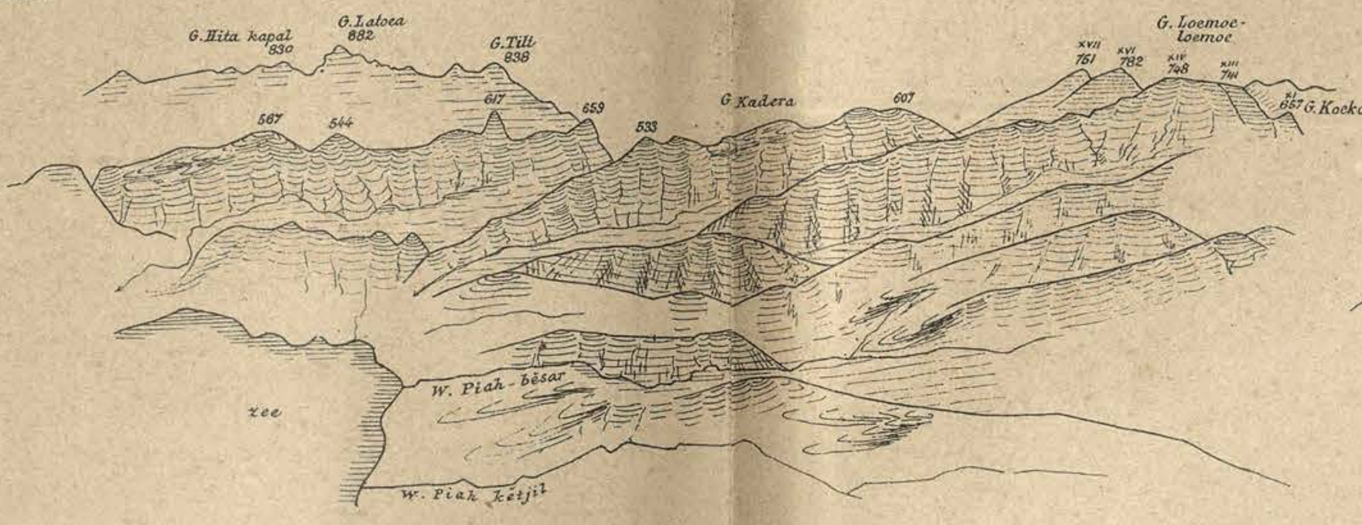

Fig. 27. Panorama van de gebergten Latoea, Kadera en Loemoe-loemoe (Hitoe), gezien van een punt boven Batoe loebang, 181 meter boven zee.

Fig. 30. Panorama van het Salahoetoe-gebergte (Hitoe), gezien van den G. Kërbau, 478 meter boven zee.

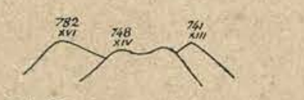
Fig. 31. De Loemoe-loemoe-toppen, van Ambon gezien.

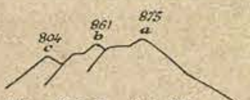
Fig. 32. De drie Toena-toppen, van Ambon gezien.

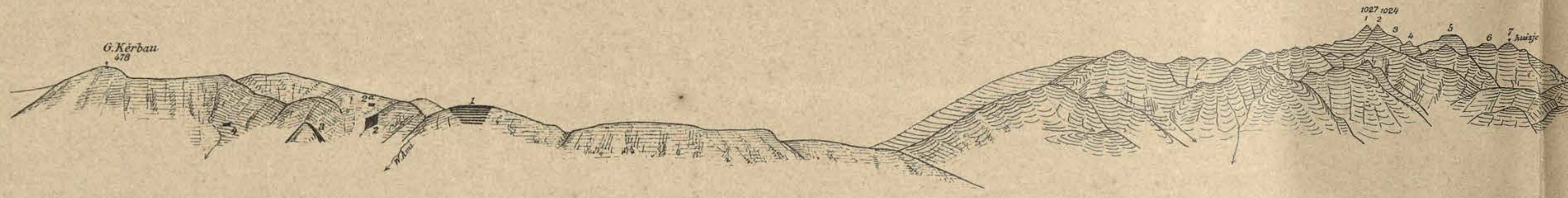

Fig. 34. Panorama van het Salahoetoe-gebergte tot aan den G. Kërbau, gezien van een punt op de heuvels achter Ambon.
1, 2, 2ª, 3, 4 afgestorte gedeelten, bij de aardbeving van 6 Januari 1898.

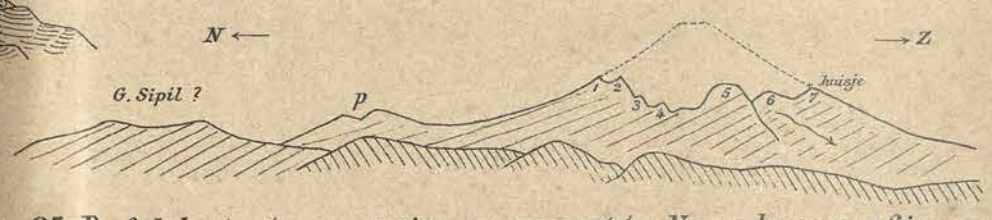

Fig. 35. De Salahoetoe-toppen, gezien van een punt ten N. van kampoeng Siwang, (± 400 meter boven zee).

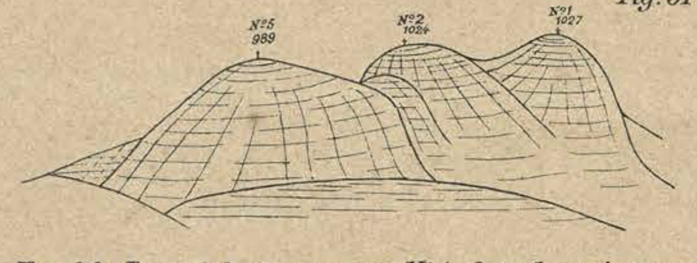

Fig. 36. De Salahoetoe-toppen Nˢ 1, 2 en 5, gezien van het huisje op top 7 (985 meter boven zee) van den Salahoetoe.
Naar eene photographie.

Fig. 33. De zeven Salahoetoe-toppen, van Ambon gezien.

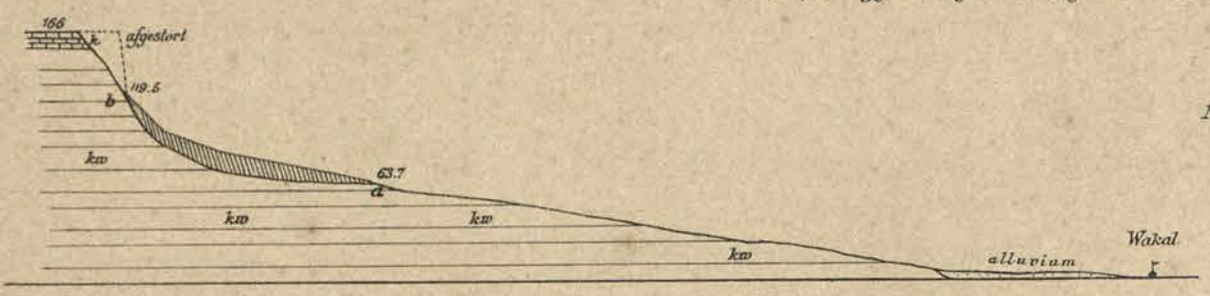

Fig. 37. Afstorting van koraalkalk en gruis bij Wakal (Hitoe). Horizontale en vertikale schaal 1:5000.
k. Koraalkalk. kw Kalkgruis met schelpen, brokstukken van takkoralen en enkele stukken van eruptiefgesteente;
a b los materiaal, van boven afgestort bij de aardbeving van 6 Januari 1898.

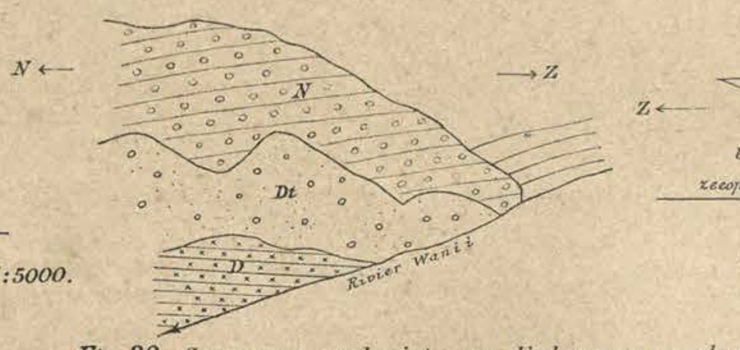

Fig. 38. Grens van andesiet en diabaas aan den rechteroever der rivier Wanii, G. Toena (Hitoe)
D. Diabaas. Dt. Diabaasbreccie en -tuf. N. Bronzietandesiet.

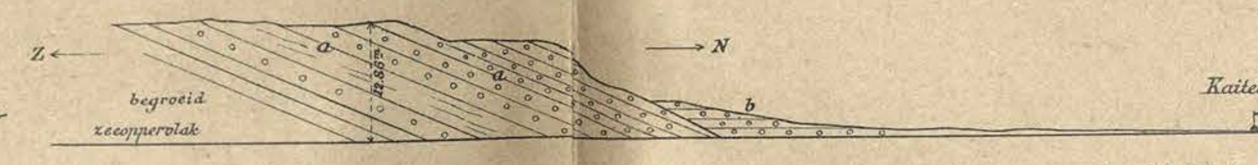

Fig. 39. Kwartaire rolsteenterrassen bij Kaitetoe (Hitoe), aan den linkeroever der Wai Loi.
a a Hellende lagen, hellende 23° naar N.; b Nagenoeg horizontale rolsteenlagen.

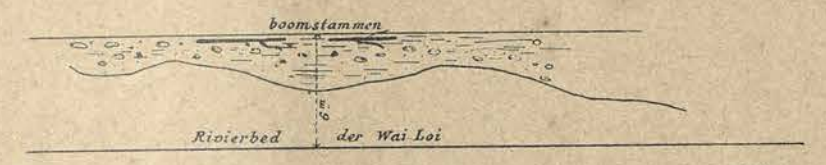

Fig. 40. Rolsteenlagen en hout, tegen de rivieroevers der W. Loi, ± 6 meter boven het rivierbed, ongeveer 4 kilometer van Kaitetoe (Hitoe).

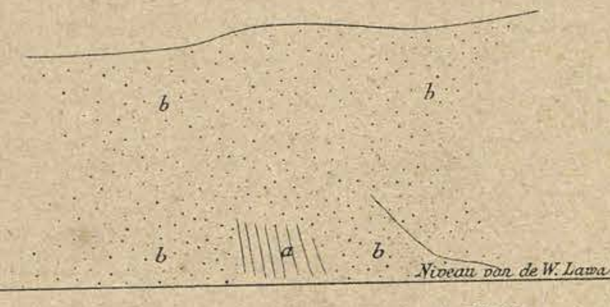

Fig. 41. Aanstaand eruptiefgesteente in de W. Lawa, boven Tawiri (Hitoe).
a Melafier b Breccieachtig melafierglas.

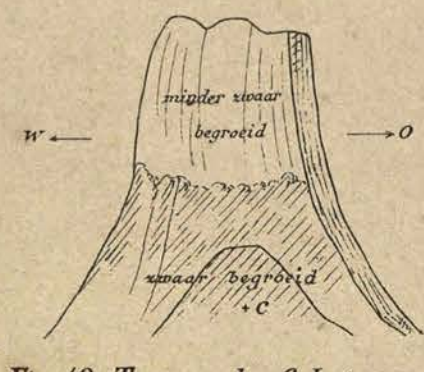

Fig. 42. Top van den G. Latoea, van ± Z. gezien.

Fig. 43. Top van den G. Latoea, van NO. gezien, van een punt ± 760 meter b. zee.
A. Hoogste top. B voortop. C. hoogstepunt van het zuiden bereikt (zie Fig. 42)

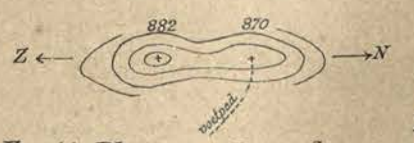

Fig. 44. Platte grond van den hoogsten Latoea-top.

Fig. 45. De rots Hatoe Gëlëdihoe (Batoe Lajar) aan de Westkust van Hitoe.
a, Vaste kwartsglimmerandesiet. b, Breccie van andesiet. c, Gat, door de zee uitgespoeld.

Fig. 46. De grot Mëtila, tusschen Asiloeloe en Oering (Noordkust v. Hitoe)
a. Conglomeraat van andesiet. k, Koraalkalk.

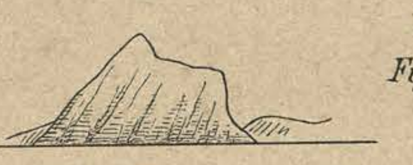
Fig. 47. De G. Hoehoe bij kaap Hoehoe.
(Noordkust van Hitoe)

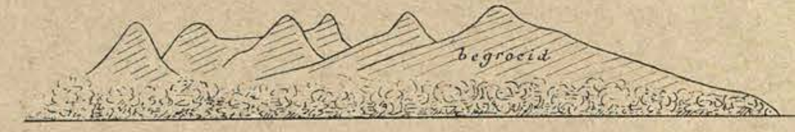

Fig. 48. Het Tomol-gebergte bij kaap Tomol (Noordkust van Hitoe).

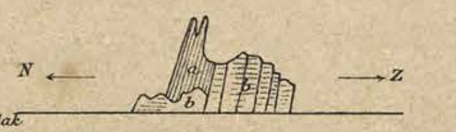

Fig. 49. Rotspartij aan de uitmonding der rivier Moki, rechteroever. (Noordkust v. Hitoe)
a. Vaste andesiet. b, Breccieachtige andesiet.

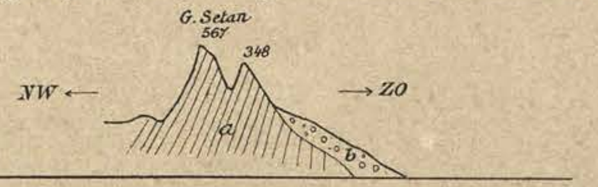

Fig. 50. De G. Setan, aan de Noordkust van Hitoe, van NO. gezien, bij kaap Moki.
a. Glasrijke andesiet. b. Kwartsglimmerandesietbreccie.

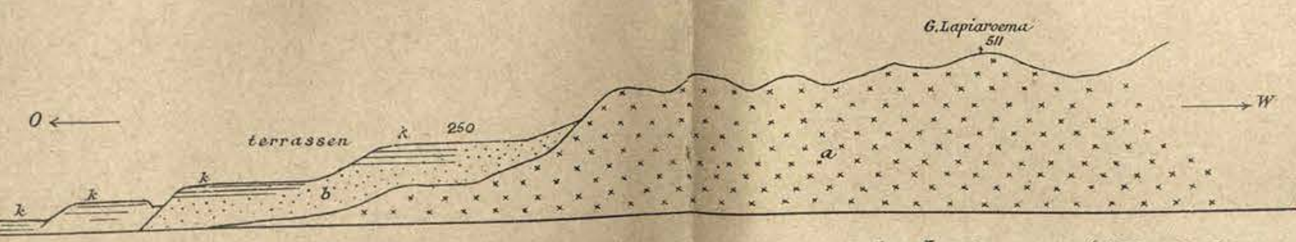

Fig. 51. Kalkterrassen achter Liang, tegen het eruptieve gebergte van den Lapiaroema. (NO. gedeelte van Hitoe), gezien van NW. uit zee.
a, Kwartsglimmerandesiet, b. Terrassen van gruis en koraalkalk.

Fig. 52. De kalkbergen Hoewé en Eriwakang tusschen Toelehoé en Soeli (Hitoe).
Genomen van het N. uit de baai van Waë.
k. Los gruis met koraalkalkbanken, terrasvormig.

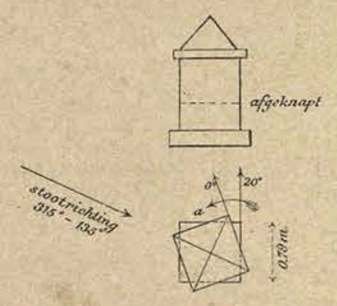

Fig. 53. Monument van den heer Köhler, op het kerkhof te Ambon.
Schaal 1:100.
Het bovenstuk is 20° tegen het onderstuk verdraaid, in den zin van het pijltje a.

Fig. 54. PLATTE GROND VAN AMBON met de door de aardbeving van 6 Januari 1898 beschadigde gebouwen. SCHAAL 1 : 5000

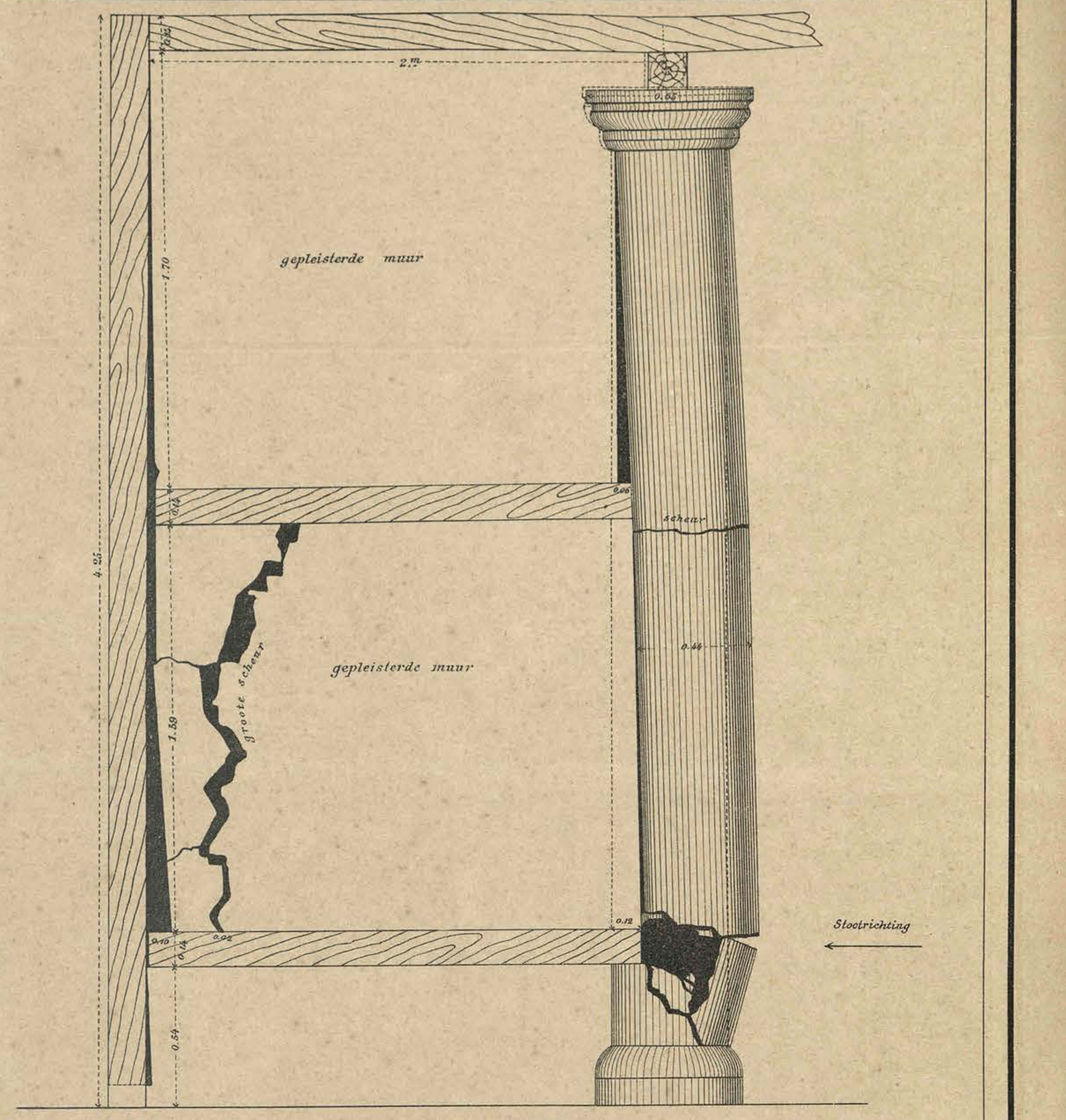

Fig. 55. Muur in de societeit te Ambon, bij de aardbeving gescheurd. Schaal 1 : 20.

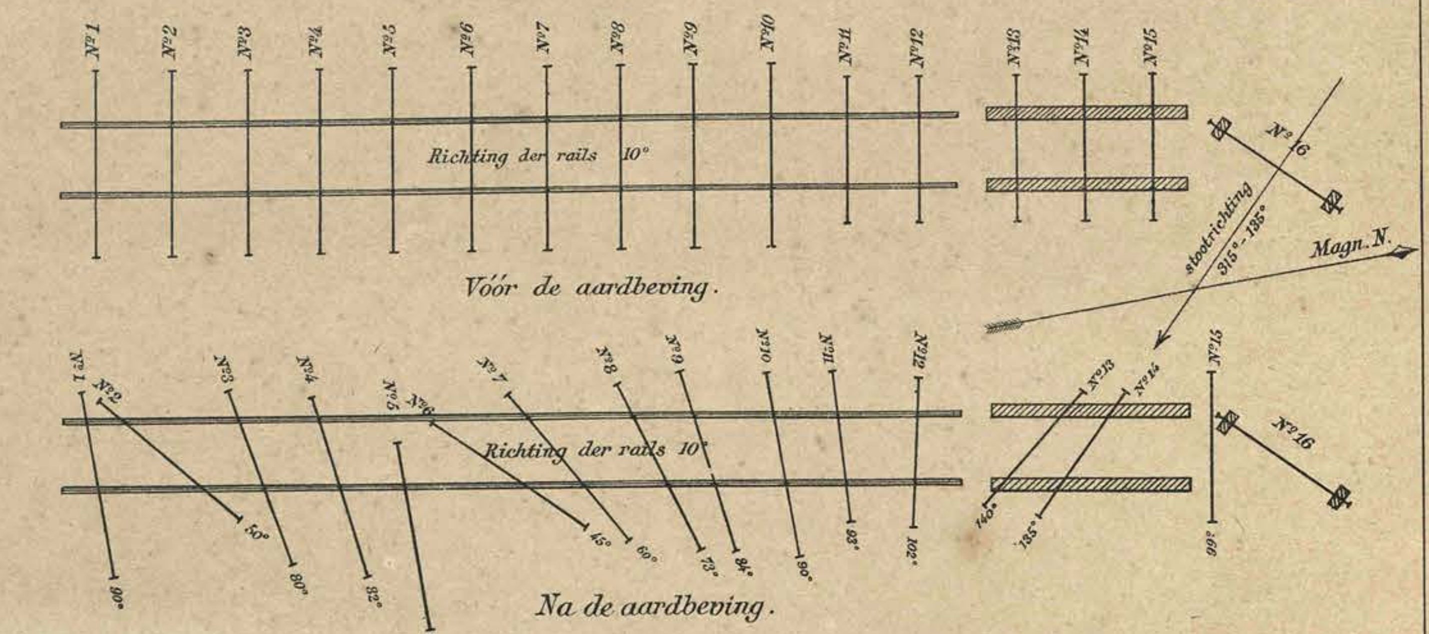

Fig. 56. Richting van 15 kanonnen in het fort Nieuw Victoria te Ambon, vóór en na de aardbeving. Gewicht der kanonnen N° 1 - 10 3000 kilo ieder. Gewicht der kanonnen N° 11 - 15 1500 kilo ieder. De lijnen stellen de assen der kanonnen voor. Schaal 1:100.

Fig 57. Kalksteen en serpentijn, bij Kĕboetoe-doewoer, Residentie Banjoemas, Java.

Fig 58. Kalksteen en serpentijn, bij Watoe bĕlah. Residentie Banjoemas, Java.

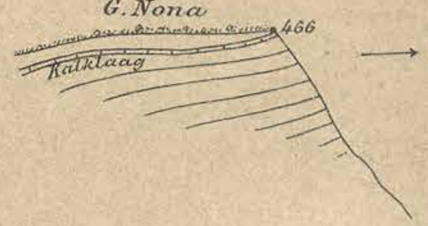

Fig 59. Gebogen en hellende kalklaag op den Goenoeng Nona, gezien van Koeda mati (Schets).

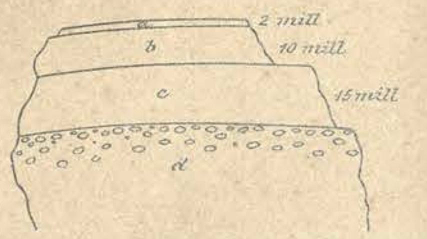

Fig 63. Melafier met glaskorst van Tandjoeng Tapi op Hitoe. (Schets).

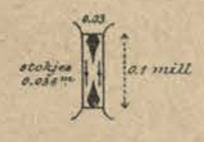

Fig 64. Olivien-mikrolieth uit gesteente N°12 (1898) van Tandjoeng Tapi (vergrooting $\frac{100}{1}$).

Fig 65. Olivien-mikroliethen uit gesteente N°12bis (1899) van Tandjoeng Tapi (vergrooting $\frac{100}{1}$).

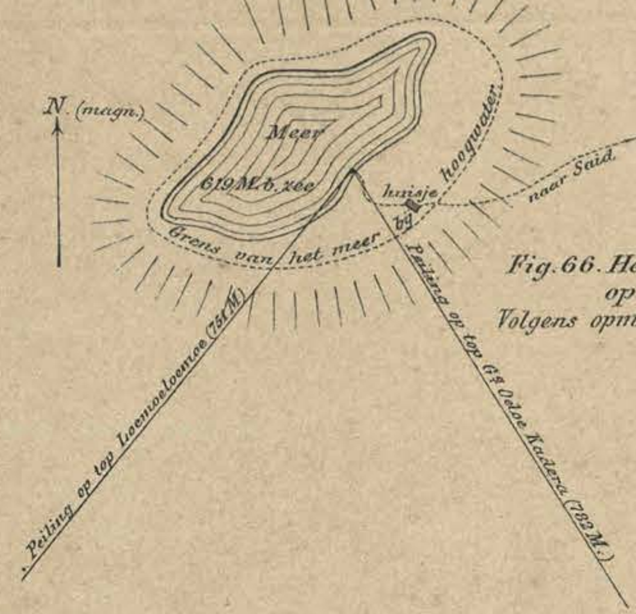

Fig. 66. Het meer Tĕlaga Radja op Hitoe. Schaal 1:2000. Volgens opmeting van den Heer J.F. de Corte in 1904.

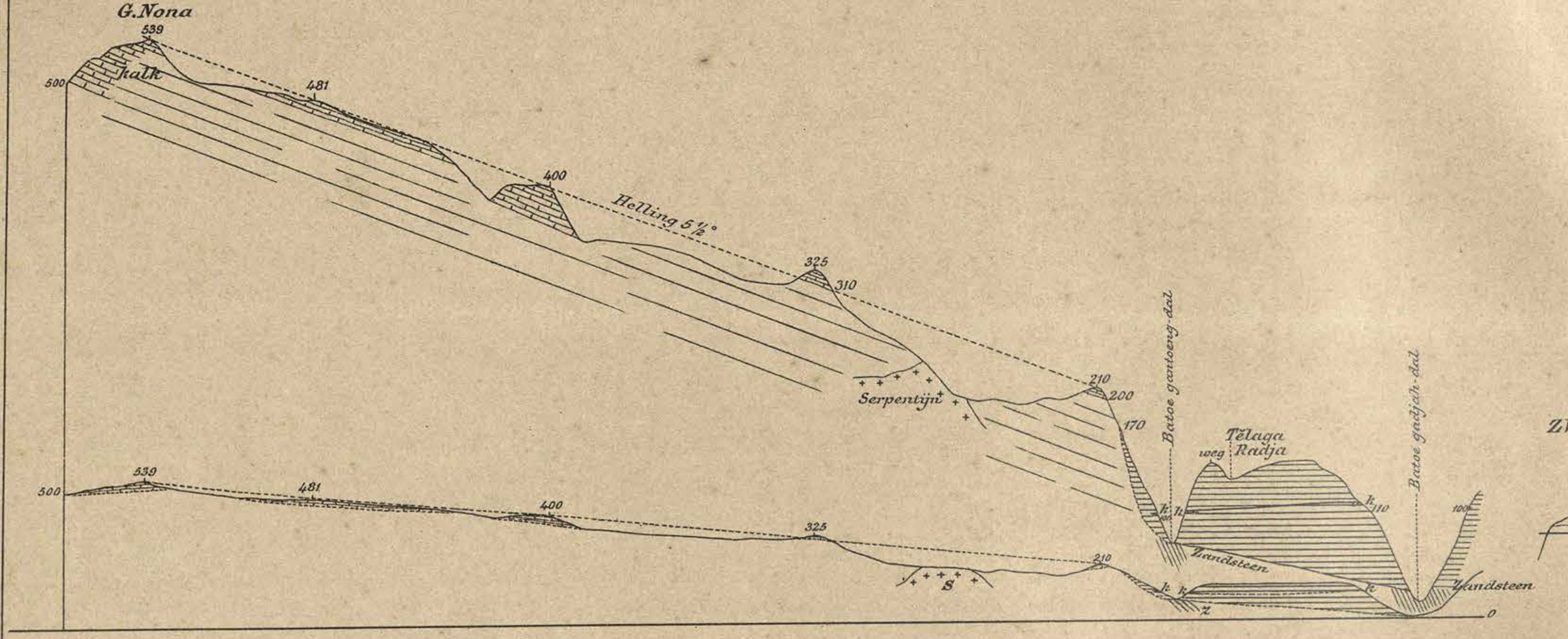

Fig 60. Profiel van den Goenoeng Nona tot aan de Batoe-gadjah-rivier, ongeveer loodrecht op de richting der kalklagen.
Horizontale Schaal 1:20.000.
Vertikale Schaal voor het benedenste profiel 1:20.000.
" " voor het bovenste profiel 1: 5.000.

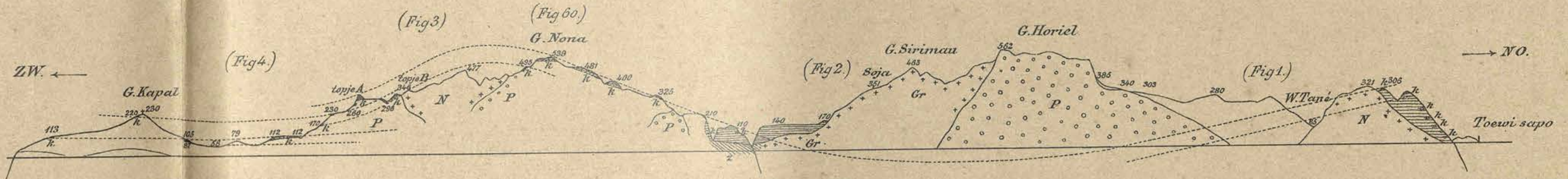

Fig 61. Lengtedoorsnede van Leitimor, volgens eene gebroken lijn, van ± ZW-NO.
Horizontale Schaal 1:100.000.
Vertikale Schaal 1: 25.000.

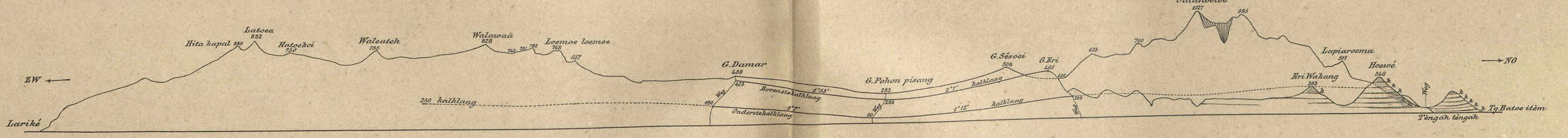

Fig 62. Lengtedoorsnede van Hitoe, volgens eene gebroken lijn, van ± ZW-NO.
Horizontale Schaal 1:100.000.
Vertikale Schaal 1: 25.000.

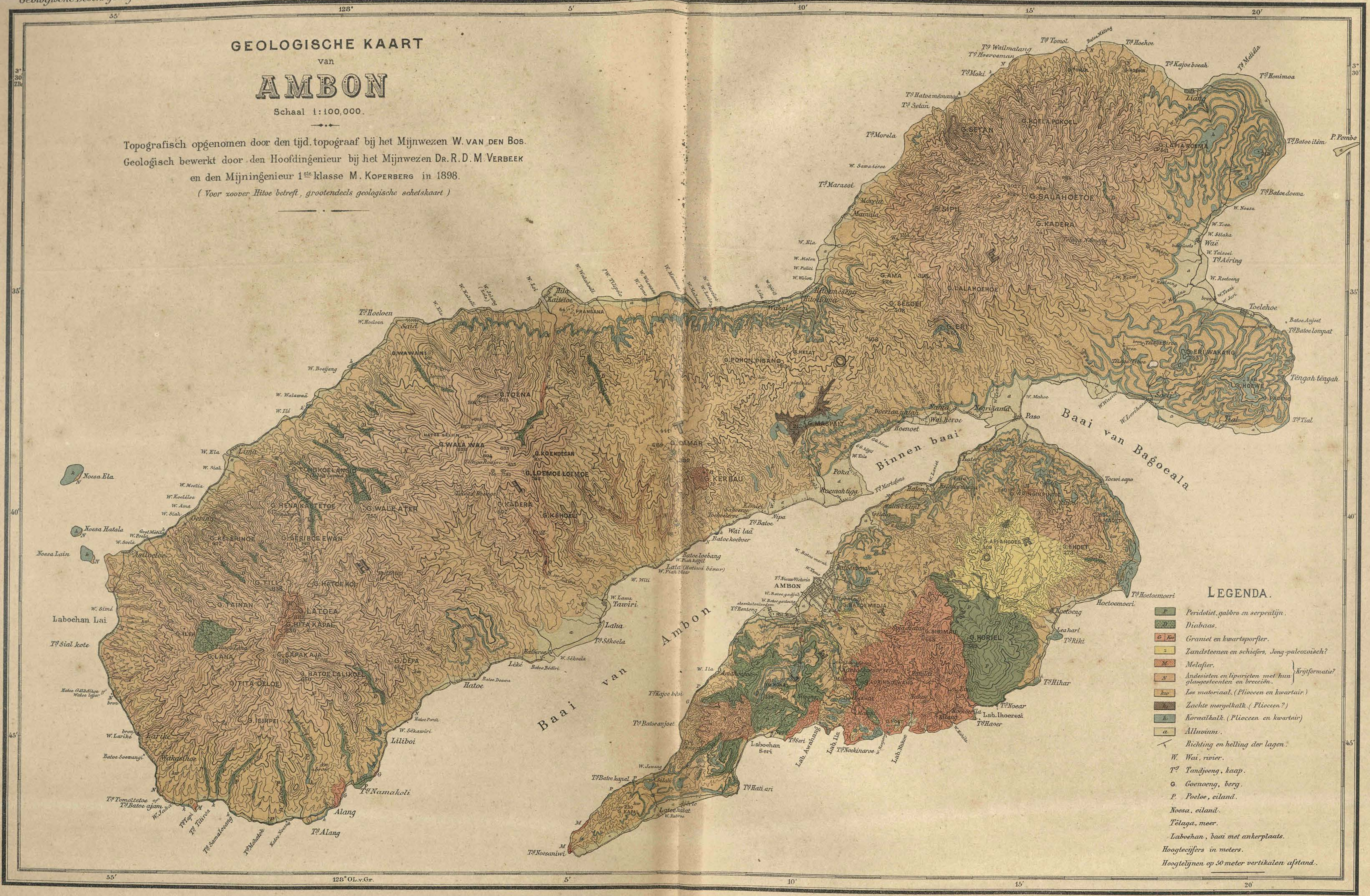
GEOLOGISCHE KAART
van
AMBON
Schaal 1:100,000.
Topografisch opgenomen door den tijd. topograaf bij het Mijnwezen W. van den Bos.
Geologisch bewerkt door den Hoofdingenieur bij het Mijnwezen Dr. R. D. M Verbeek
en den Mijningenieur 1ste klasse M. Koperberg in 1898.
(Voor zoover Hitoe betreft, grootendeels geologische schetskaart)
LEGENDA.
P Peridotiet, gabbro en serpentijn.
D Diabaas.
G Kw Graniet en kwartsporfier.
z Zandsteenen en schiefers, Jong-palcozoïsch?
M Melafier.
N Andesieten en liparieten met hun glasgesteenten en brecciën.
Krijtformatie?
kw Los materiaal. (Plioceen en kwartair.)
Zachte mergelkalk. (Plioceen?)
k Koraalkalk. (Plioceen en kwartair)
a Alluvium.
Richting en helling der lagen.
W. Wai, rivier.
Tg Tandjoeng, kaap.
G. Goenoeng, berg.
P. Poeloe, eiland.
Noesa, eiland.
Tĕlaga, meer.
Laboehan, baai met ankerplaats.
Hoogtecijfers in meters.
Hoogtelijnen op 50 meter vertikalen afstand.
Binnen baai
Baai van Ambon
Baai van Bagoeala
AMBON

GEOLOGISCHE KAART

VAN

LEITIMOR

SCHAAL 1:20,000

GEOLOGISCH BEWERKT DOOR DEN HOOFDINGENIEUR BIJ HET MIJNWEZEN

Dr. R. D. M. VERBEEK.

TOPOGRAFISCH OPGENOMEN DOOR DEN TIJD. TOPOGRAAF BIJ HET MIJNWEZEN

W. VAN DEN BOS.

IN 1898.

Legenda.

P	*Peridotiet en serpentijn.*	N	*Andesieten, liparieten, glasgesteenten en brecciën. (Krijtformatie?).*
D	*Diabaas.*	kw	*Los materiaal. (Plioceen en kwartair).*
G | Kw	*Graniet en kwartsporfier.*	k	*Koraalkalk. (id . id).*
z	*Zandsteenformatie (Jong-paleozoisch?).*	a	*Alluvium.*
M	*Melafier (Krijtformatie?).*		*Richting en helling der lagen.*

W. Wai, rivier. T^{g} Tandjoeng, kaap. G. Goenoeng, berg. Laboehan: baai, inham met ankerplaats.

Hoogtecijfers in meters.

Hoogtelijnen op 10 meter vertikalen afstand.

BLADWIJZER.

1 : 200.000.

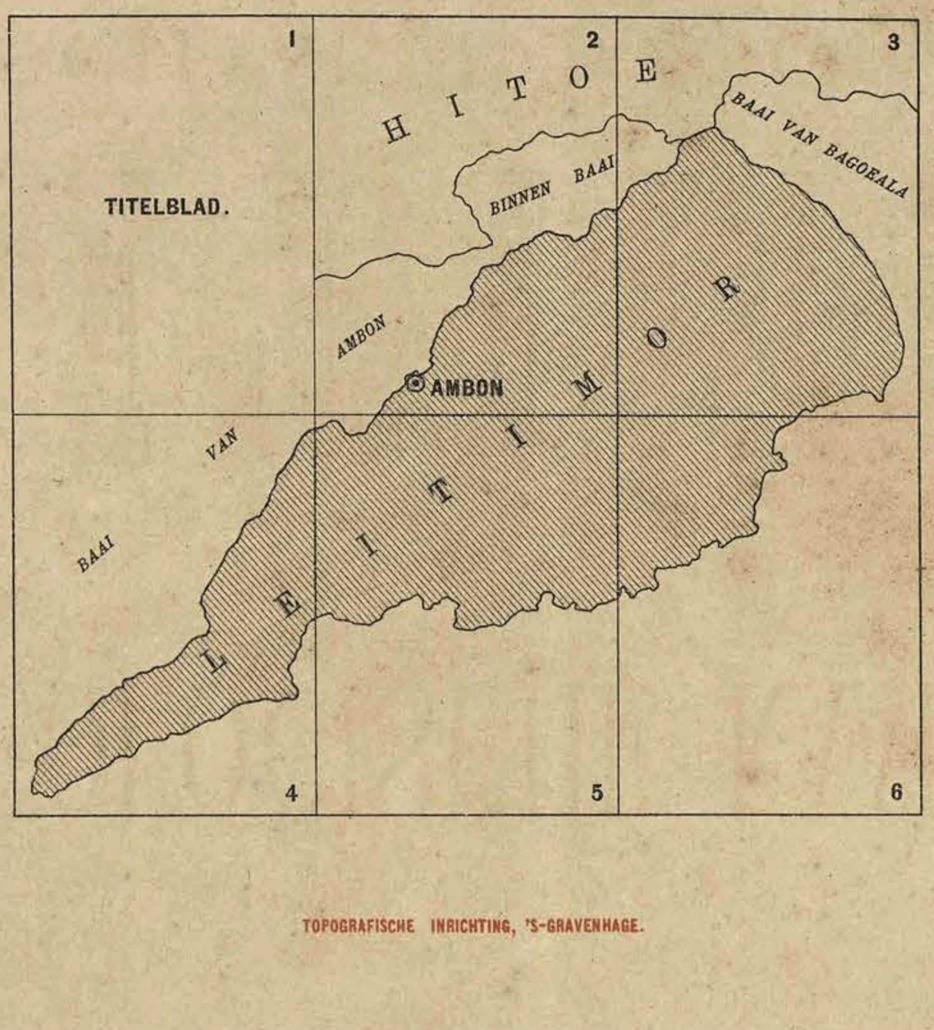

TOPOGRAFISCHE INRICHTING, 'S-GRAVENHAGE.

H I T O
Nania
Wai Napoe
Doerian patah
Wai Heroe
Hoenoet
B I N N E N B A A I
Tala
Poka
Tg Martafons
Roemah tiga
Nipa
Kĕmiri
Nipa
Lala
Halong
Kelapa doewa
Hatiwi ketjil
Gĕlala
Wai Roehoe
B A A I V A N A M B O N
G. KOEPANG
G. MOEWAL
G. BATOE MERAH
Batoe merah
Mardika
G. KARANG PANDJANG
Fort Nieuw Victoria
AMBON
Batoemedja
G. BATOE MEDJA
Profiel Fig. 1
Profiel Fig. 2
Profiel Fig. 6

Geologische Beschrijving van Ambon.

Kaart N°II, Blad 3.

W. Tihameten
W. Werkakewang
W. Piah
Amahoesoe
W. Soesoe
W. Kajoe bési
Tg Kajoe bési
W. Nerojang
W. Wartowoe
W. Nener
Tg Batoe anjoet
W. Lepialari
W. Hoewa
W. Gédong
W. Sékal
W. Eroeng
Eri
W. Telata
W. Tilata
W. Koembangtoloeng
W. Jowang
Laboehan Radja
Profiel Fig. 5
Tg Batoe kapal
Silali
G. ROESI
G. ATANA
Tg Hati ari
Profiel Fig. 3
Ajerlo
W. Memikar
G. KAPAL
229.5
Latoe halat
W. Patiroe
Profiel Fig. 5
W. Weer
W. Toepa
W. Mahoe
Tg Noesaniwi
W. Mole
Profiel Fig. 4

3859

Tg Benteng
Steenkolenloodsen
Wai Nitoe
Koedamati
G. BATOE GADJAH
G. BATOE GOELING
G. KRAMAT
G. HALINOENG
G. AMAH KORA
G. APINAU
G. NONA
G. SIWANG
Siwang
G. ERI HAOE
G. NANAHOE
Malamin
Koesoekoesoeseren
G. LORING OEWANG
Soja di atas
G. SIRIMAU
Hatalai
Nakoe
G. BATOE ITAM
Mahija
G. ERI SAMAU
Kilang
Seri
Tg Noekinahoen
Tg Simanoekoeng
Laboehan Seri
Tg Seri
Laboehan Awahang
Laboehan Ila
Tg Noekinaroe
Laboehan Roepang
Laboehan Nakoe
Laboehan Nanseri

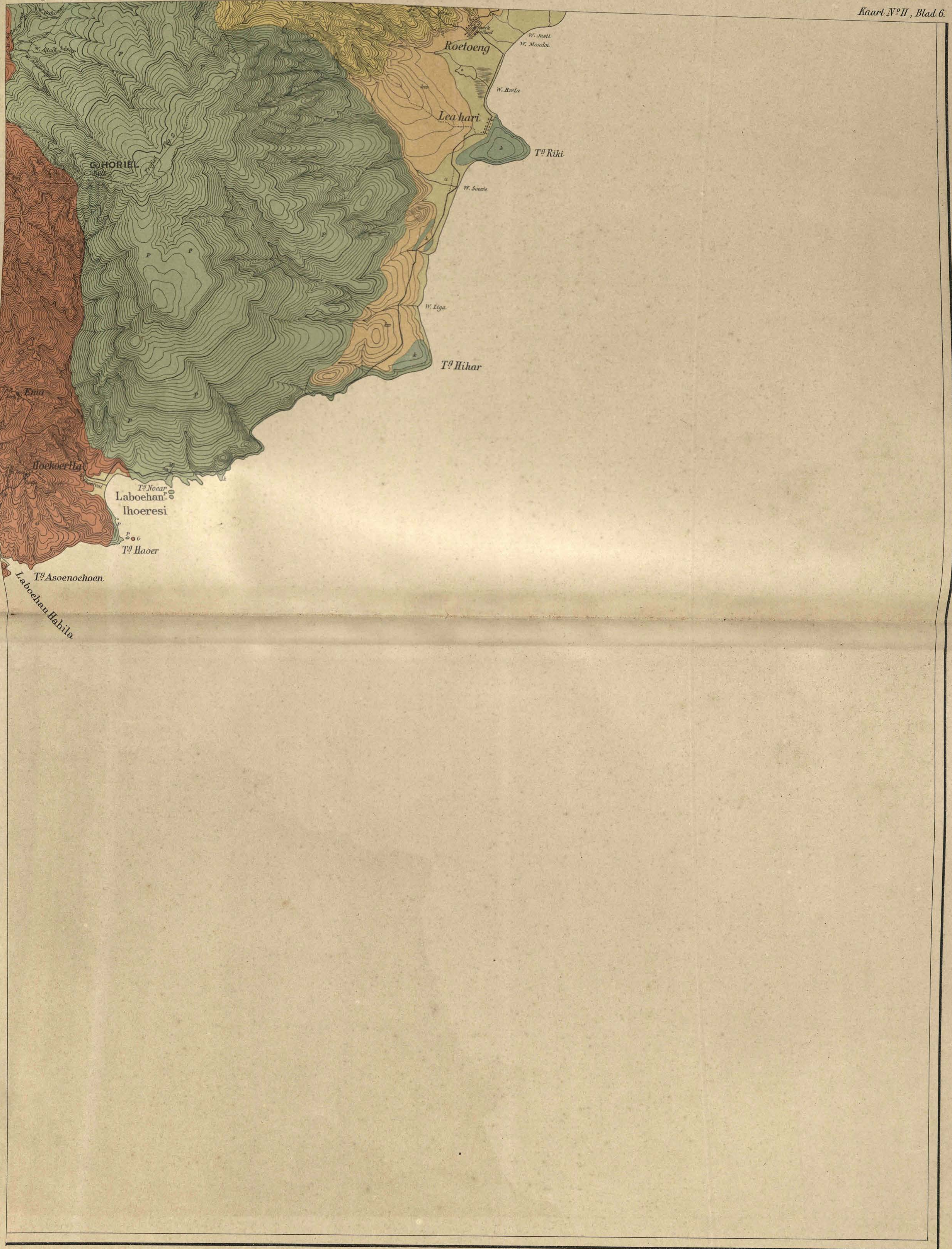
Roetoeng
Lea hari
Tg Riki
W. Liga
Tg Hihar
G. HORIEL
Ema
Tg Noear
Laboehan
Ihoeresi
Tg Haoer
Tg Asoenoehoen
Laboehan Hahila

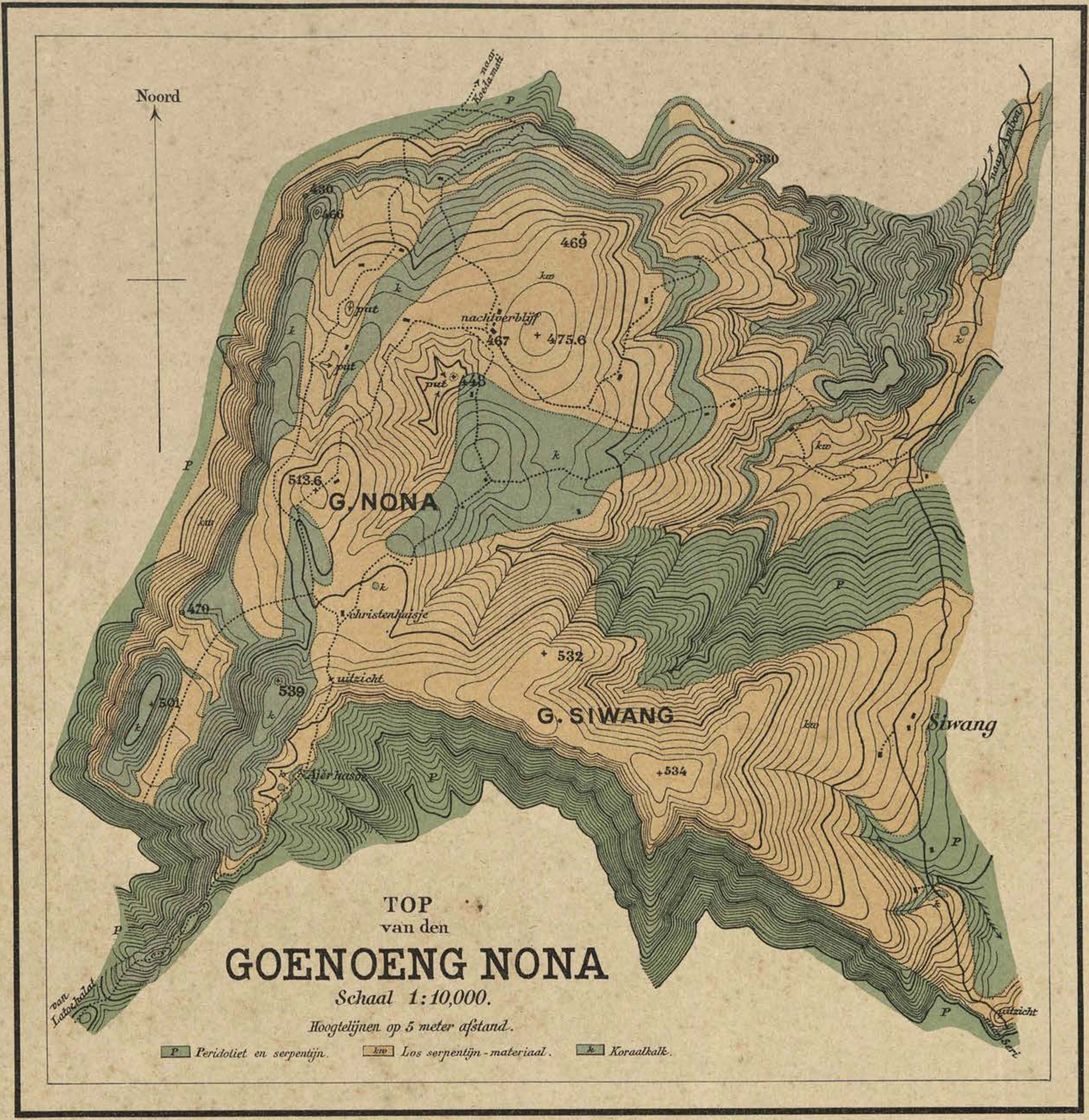
Noord
G. NONA
G. SIWANG
Siwang
469
475.6
nachtverblijf
467
put
513.6
470
christenhuisje
uitzicht
539
532
534
naar Ambon
TOP
van den
GOENOENG NONA
Schaal 1:10,000.
Hoogtelijnen op 5 meter afstand.
P Peridotiet en serpentijn.
kw Los serpentijn-materiaal.
k Koraalkalk.

KAART
van
AMBON
SCHAAL 1 : 100,000.
Noord
HITOE
LEITIMOR
Baai van Ambon
Binnen-baai
Baai van Bagoeala
AMBON
G. SALAHOETOE
G. LATOEA
G. KĔRBAU
PLATEAU DAMAR
Noesa Ela
Noesa Hatala
Noesa Lain
Verwerping
LEGENDA.
Waterscheidingen
Lijn van grootste diepte in de Ambon-baai
I Hoofdstootgebied van de aardbeving van 6 Januari 1898
II, III, IV Secundaire stootgebieden id. id.
Verwerpingen
Peridotiet-bergen Loring oewang en Eri samau
1; 2, 2a, 3, 4. Afstortingen der heuvels beoosten den G. Kĕrbau
a, b, c. id. id. bij de W. Lela (N.W. van Roemah tiga)
d, e id. id. bij Wakal
f id. id. aan de N. zijde v/d berg Loring oewang
Hoogten en diepten in meters.
Diepteljnen in de baai van Ambon op 50 meter vertikalen afstand.

00038859

Digitized with financial assistance from
Observer Research Foundation
on 11 March, 2020